

*Г. Я. Кабо, А. А. Козыро, А. В. Блохин*

## ТЕРМОДИНАМИКА ТВЕРДОФАЗНЫХ ПЕРЕХОДОВ И ПЛАВЛЕНИЯ НЕКОТОРЫХ ПРОИЗВОДНЫХ ЦИКЛОГЕКСАНА И ЦИКЛОПЕНТАНА

Молекулярные кристаллы многих органических веществ при низких температурах ( $T < 100$  К) чаще всего полностью упорядочены. При переходе их в жидкое состояние даже в рядах сходных веществ энталпии и энтропии плавления могут отличаться в 5–15 раз. Эти различия чаще всего обусловлены тем, что еще до достижения  $T_{\text{fus}}$  в некоторых веществах возможны твердофазные переходы, которые сопровождаются существенными изменениями физических и химических свойств веществ [1, 2]. Одним из самых интересных и интенсивно изучаемых в последнее время твердофазных переходов является образование состояний, названных Тиммерманом [3] пластическими кристаллами. Эти переходы сопровождаются возрастанием энтропии  $\Delta_{\text{trs}}S_m^{\circ}$ , которое может в 2–5 раз превосходить энтропию плавления этого же вещества, изменениями симметрии кристаллической решетки, плотности, оптических, диэлектрических, механических свойств. Существование пластических кристаллов имеет решающее значение и для объяснения возможных причин аномально высоких скоростей некоторых химических реакций в твердой фазе, исследованных впервые Лишинским [4], и, как было показано [5], часто самопроизвольно начинаяющихся при нагревании до температур, близких к твердофазным переходам или плавлению.

Возможность образования веществами пластических кристаллов трудно предсказуема по структурным параметрам молекул. Мы провели систематические исследования некоторых производных циклогексана и цикlopентана с целью поиска феноменологических закономерностей термодинамических характеристик твердофазных переходов и обоснования физических моделей эволюции молекул в пластических кристаллах.

## ИЗМЕРЕНИЕ ЭНТАЛЬПИЙ ТВЕРДОФАЗНЫХ ПЕРЕХОДОВ ПРОИЗВОДНЫХ ЦИКЛОГЕКСАНА И ЦИКЛОПЕНТАНА

Измерения энタルпий твердофазных переходов проводились в вакуумном адиабатическом калориметре ТАУ-1, изготовленном во ВНИИФТРИ (г. Москва) [6]. Объем калориметрических ячеек составлял 0.6 и 1.0 см<sup>3</sup>. Температура измерялась железо-родиевыми термометрами сопротивления  $R_{01} = 45.32$  W и  $R_{02} = 101.83$  W, расположенными на внутренней поверхности адиабатических экранов. Адиабатический режим поддерживался с использованием в качестве датчика разности температур экрана и калориметрической ампулы четырехспайной дифференциальной термопары. Надежность работы калориметра подтверждена измерениями теплоемкости бензойной кислоты марки К-1 (99.995 %) и меди

Таблица 1

**Термодинамические характеристики фазовых переходов некоторых производных циклогексана и цикlopентана, исследованных в данной работе**

Соединение	Переход	$\frac{T_{tr}}{K}$	$\frac{\Delta_{tr}H_m^0}{\text{кДж}\cdot\text{моль}^{-1}}$	$\frac{\Delta_{us}S_m^0}{\text{Дж}\cdot\text{моль}^{-1}\cdot\text{К}^{-1}}$
хлорциклогексан	крIII → крII	120.0	$0.051 \pm 0.001$	$0.43 \pm 0.01$
	крII → крI	220.4	$8.011 \pm 0.003$	$36.35 \pm 0.01$
	крI → ж	229.34	$2.043 \pm 0.005$	$8.91 \pm 0.02$
хлорцикlopентан	крII → крI	169.35	$7.631 \pm 0.018$	$45.06 \pm 0.11$
	крI → ж	180.0	$0.637 \pm 0.005$	$3.54 \pm 0.03$
цикlopентанол	крIV → крIII	176.0	$0.057 \pm 0.005$	$0.32 \pm 0.03$
	крIII → крII	202.6	$3.366 \pm 0.014$	$16.61 \pm 0.07$
	крII → крI	234.0	$0.055 \pm 0.006$	$0.24 \pm 0.03$
	крI → ж	255.6	$1.227 \pm 0.005$	$4.80 \pm 0.02$
1-метил-1-хлорциклогексан	крII → крI	214.37	$9.381 \pm 0.028$	$43.76 \pm 0.13$
	крI → ж	234.52	$1.630 \pm 0.004$	$6.95 \pm 0.02$
1-метил-1-хлорцикlopентан	крIII → крII	164.20	$1.283 \pm 0.014$	$7.81 \pm 0.09$
	крII → крI	178.82	$5.702 \pm 0.021$	$31.89 \pm 0.02$
	крI → ж	189.05	$0.731 \pm 0.006$	$3.87 \pm 0.03$
1-метилциклогексанол	кр → ж	299.40	$14.322 \pm 0.019$	$47.84 \pm 0.06$
1-метилцикlopентанол	крIII → крII	281.72	$2.608 \pm 0.012$	$9.26 \pm 0.04$
	крII → крI	301.47	$1.820 \pm 0.004$	$6.04 \pm 0.01$
	крI → ж	308.53	$8.593 \pm 0.007$	$27.86 \pm 0.02$
1,1-дихлорциклогексан	крII → крI	225.00	$9.150 \pm 0.018$	$40.67 \pm 0.08$
	крI → ж	236.59	$1.465 \pm 0.005$	$6.19 \pm 0.02$

особой чистоты ОСЧ-11-4 (99.995%). Чистота веществ, синтезированных и очищенных нами (табл. 1), контролировалась хроматографически.

Энталпии твердофазных переходов определяли по результатам опытов, в которых в веществе осуществлялось фазовое превращение одной порцией теплоты. При вычислении значений  $\Delta_{\text{trs}} H_m^\circ$  из общей теплоты, подведенной образцу, вычитались доли теплоты, затраченные на нагревание образца от начальной температуры опыта до  $T_{\text{trs}}$  и от  $T_{\text{trs}}$  до конечной температуры опыта. В таких опытах использовались значения теплоемкости, экстраполированные к  $T_{\text{trs}}$ . Количество измерений  $\Delta_{\text{trs}} H_m^\circ$  для каждого образца составляло 4 - 5. Значения  $\Delta_{\text{trs}} C_s$  вычислены путем экстраполяции соответствующих полиномов  $C_s(T)$ , где  $T > T_{\text{trs}}$  или  $T < T_{\text{trs}}$  к значению  $T = T_{\text{trs}}$ .

Результаты определений термодинамических параметров твердофазных переходов и плавления веществ приведены в табл. 1.

## СПОСОБНОСТЬ ОБРАЗОВЫВАТЬ ПЛАСТИЧЕСКИЕ КРИСТАЛЛЫ И ПОСТОЯНСТВО СУММ $[\Sigma(\Delta_{\text{trs},i} S_m^\circ) + \Delta_{\text{fus}} S_m^\circ]$ В РЯДАХ ПРОИЗВОДНЫХ ЦИКЛОГЕКСАНА И ЦИКЛОПЕНТАНА

Существенный интерес представляет сравнение термического поведения кристаллов производных циклогексана и цикlopентана. В табл. 2 приведены температуры и молярные энтропии фазовых переходов в конденсированном состоянии некоторыхmono- и дизамещенных производных  $C_5$  и  $C_6$  циклоалканов, изученных нами и опубликованных ранее [7-25]. На основании данных табл. 2 можно отметить, что:

1. Способность образовывать пластические кристаллы в рядах производных циклогексана и цикlopентана нельзя прогнозировать на основе простых структурных аналогий и групповой аддитивности (рис. 1). Невозможно объяснить, например, почему монометил- и моноаминопроизводные указанных циклоалканов не образуют пластические кристаллы, а монохлор- и моногидроксизамещенные образуют их, и т. д. Однако следует отметить, что сходные по структуре производные  $C_5$  и  $C_6$  циклоалканов обладают одинаковой способностью образовывать пластические кристаллы. Исключением является пара цикlopентанон — циклогексанон, из которой только циклогексанон образует пластические кристаллы.

Можно предположить, что наличие определенных заместителей или определенное сочетание геминальных заместителей в молекулах сходных производных цикlopентана и циклогексана оказывает одно-

Таблица 2

Температуры, энтропии и скачки теплоемкости фазовых переходов некоторых производных циклогексана и циклопентана в конденсированном состоянии

( $\Sigma\Delta S_m^o = [\sum(\Delta_{trs,i}S_m^o) + \Delta_{fus}S_m^o]$  — сумма энтропий всех твердофазных переходов и плавления вещества)

Соединение	Переход	$T_{trs}$ К	$\Delta_{trs}S_m^o$	$\Sigma\Delta S_m^o$	$\Delta_{trs}C_s$	Лит.
			Дж·моль <sup>-1</sup> ·К <sup>1</sup>			
циклопентан*	крIII $\rightarrow$ крII	122.39	39.9		26.0	[7]
	крII $\rightarrow$ крI	138.07	2.5		-5.19	
	крI $\rightarrow$ ж	179.28	3.4	45.8	10.0	
циклогексан*	крII $\rightarrow$ крI	186.09	36.2		13.9	[7]
	крI $\rightarrow$ ж	279.69	9.6	45.8	14.3	
метилцикlopентан	кр $\rightarrow$ ж	130.72	53.0	53.0	41.7	[8]
метилциклогексан	кр $\rightarrow$ ж	146.58	46.1	46.1	48.4	[8]
1,1-диметилцикlopентан*	крII $\rightarrow$ крI	146.80	44.2		26.4	[9]
	крI $\rightarrow$ ж	203.68	5.3	49.5	8.4	
1,1-диметилциклогексан*	крII $\rightarrow$ крI	153.15	39.1		32.2	[10]
	крI $\rightarrow$ ж	239.81	8.4	47.5	9.8	
цис-1,2-диметилцикlopентан*	крII $\rightarrow$ крI	141.50	47.1		36.7	[9]
	крI $\rightarrow$ ж	219.45	7.6	54.7	11.3	
цис-1,2-диметилциклогексан*	крII $\rightarrow$ крI	172.50	47.9		37.7	[11]
	крI $\rightarrow$ ж	223.28	7.4	55.3	9.8	
транс-1,2-диметилцикlopентан	кр $\rightarrow$ ж	154.15	41.8	41.8	33.0	[12]
транс-1,2-диметилциклогексан	кр $\rightarrow$ ж	184.99	56.7	56.7	41.7	[10]
цис-1,3-диметилцикlopентан	кр $\rightarrow$ ж	139.48	53.1	53.1	32.1	[9]
цис-1,3-диметилциклогексан	кр $\rightarrow$ ж	197.59	54.8	54.8	36.2	[10]
транс-1,3-диметилцикlopентан	кр $\rightarrow$ ж	139.27	51.1	51.1	47.8	[13]
транс-1,3-диметилциклогексан	кр $\rightarrow$ ж	183.06	53.9	53.9	46.4	[13]
цис-1,4-диметилциклогексан	кр $\rightarrow$ ж	185.73	50.1	50.1	49.5	[13]
транс-1,4-диметилциклогексан	кр $\rightarrow$ ж	236.22	52.2	52.2	19.7	[13]
циклопентанол*	крIV $\rightarrow$ крIII	176.0	0.3		0	[14]
	крIII $\rightarrow$ крII	202.6	16.6		-6.9	
	крII $\rightarrow$ крI	234.0	0.2		0	
	крI $\rightarrow$ ж	255.6	4.8	21.9	-0.2	
циклогексанол*	крII $\rightarrow$ крI	265.50	33.2		22.7	[15]
	крI $\rightarrow$ ж	299.09	6.0	39.2	19.6	

Таблица 2 (продолжение)

Соединение	Переход	$T_{\text{trs}}$ К	$\Delta_{\text{us}} S_m^o$	$\Sigma \Delta S_m^o$	$\Delta_{\text{us}} C_s$	Лит.
			Дж·моль <sup>-1</sup> ·К <sup>-1</sup>			
цикlopентантиол	кр $\rightarrow$ ж	155.39	50.4	50.4	38.4	[16]
циклогексантиол	кр $\rightarrow$ ж	189.64	52.7	52.7	58.1	[17]
циклогексанон*	крII $\rightarrow$ крI	220.83	39.2			[18]
	крI $\rightarrow$ ж	245.22	5.4	44.6		
цикlopентанон	кр $\rightarrow$ ж	221.44	51.6	51.6	32.8	[19]
цикlopентанамин	крIII $\rightarrow$ крI	184.50	2.6		12.2	[20]
	крI $\rightarrow$ ж	190.45	43.7	46.3	42.9	
циклогексанамин	кр $\rightarrow$ ж	255.4	58.4	58.4		[21]
хлорцикlopентан*	крII $\rightarrow$ крI	169.35	45.1		29.8	[22]
	крI $\rightarrow$ ж	180.0	3.5	48.6	6.1	
хлорциклогексан*	крIII $\rightarrow$ крII	120.0	0.4		-6.5	[23]
	крII $\rightarrow$ крI	220.4	36.4		17.6	
	крI $\rightarrow$ ж	229.34	8.9	45.7	-8.6	
бромциклогексан	кр $\rightarrow$ ж		49.8	49.8	41.9	[24]
1-метилициклогексанол	кр $\rightarrow$ ж	299.40	47.8	47.8	87.6	
1-метилицикlopентанол	крIII $\rightarrow$ крII	281.72	9.3		46.54	
	крII $\rightarrow$ крI	301.47	6.0		0	
	крI $\rightarrow$ ж	308.53	27.9	43.2	11.3	
1-метил-1-хлорциклогексан*	крII $\rightarrow$ крI	214.37	43.8		34.7	
	крI $\rightarrow$ ж	234.52	7.0	50.8	9.6	
1-метил-1-хлорцикlopентан*	крIII $\rightarrow$ крII	164.20	7.8		-1.5	
	крII $\rightarrow$ крI	178.82	31.9		32.6	
	крI $\rightarrow$ ж	189.05	3.9	43.6	5.9	
1,1-дихлорциклогексан	крII $\rightarrow$ крI	225.0	40.7		37.9	
	крI $\rightarrow$ ж	236.59	6.2	46.9	5.1	

\* Вещества, образующие пластические кристаллы

типичное влияние на термическое поведение этих соединений и на их способность образовывать пластические кристаллы. Так, монопроизводные  $C_5$  и  $C_6$  циклоалканов — вторичные спирты и хлориды — существуют в состоянии пластического кристалла, а метилциклоалканы, циклоалканиолы и аминоциклоалканы не образуют такой фазы. Из всей совокупности диметилпроизводных цикlopентана и циклогексана только их 1,1-диметил- и цис-1,2-диметилзамещенные образуют пластические кристаллы.

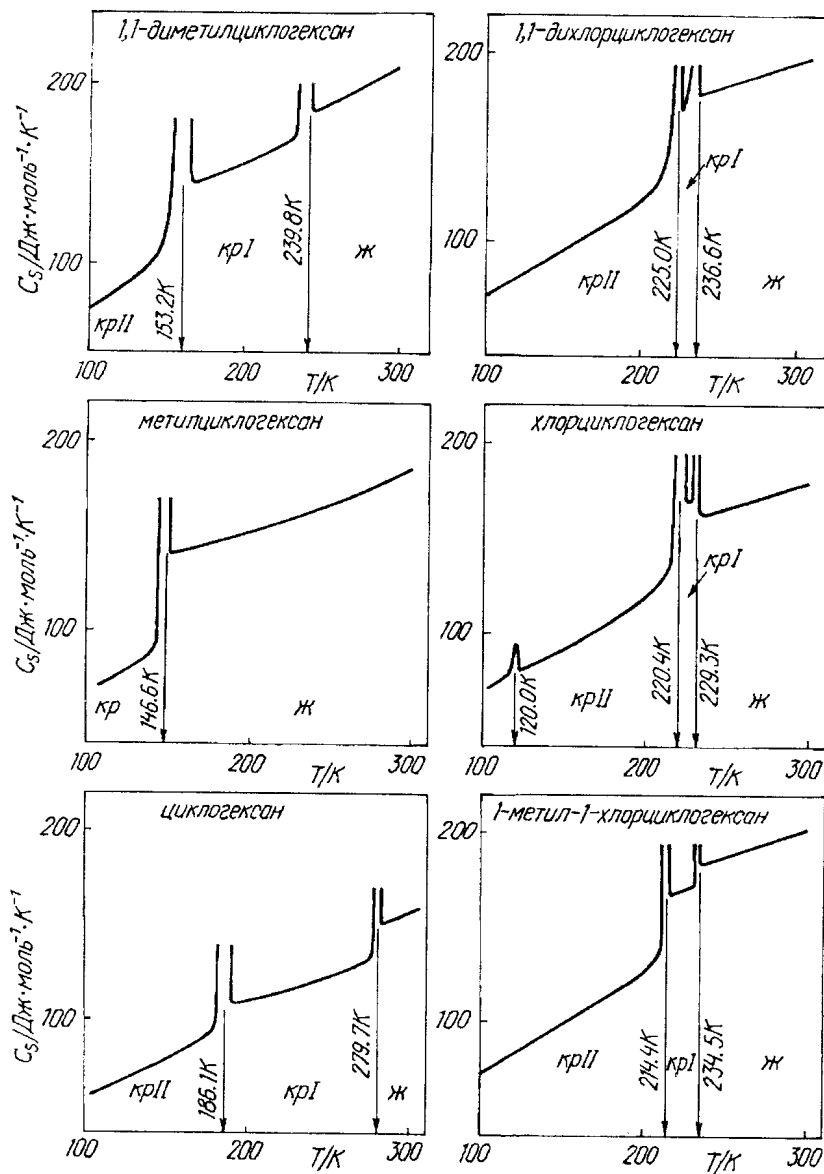


Рис. 1. Температурная зависимость теплоемкости и фазовые переходы циклогексана и некоторых его производных в конденсированном состоянии в интервале 100–300 К (крI — фаза пластического кристалла).

Особый интерес при таком рассмотрении представляют 1-метил-1-гидрокси- и 1-метил-1-хлорпроизводные цикlopентана и циклогексана, в молекулах которых геминально сгруппированы заместители, соответствующие монозамещенные которых обладают существенно различным термическим поведением: моногидрокси- и монохлорциклоалканы существуют в состоянии пластического кристалла, а монометилциклоалканы — нет. Калориметрические исследования показали, что способность образовывать пластические кристаллы производными циклогексана и цикlopентана не является аддитивным свойством. Неаддитивный характер этой способности проявляется в том, что монометилциклоалканы не существуют в пластическом состоянии, а 1,1-диметилпроизводные уже существуют.

2. При сопоставлении пар сходных по структуре производных цикlopентана и циклогексана видно, что производные цикlopентана нередко обладают более сложным термическим поведением и имеют большее число твердофазных переходов (циклопентанол и циклогексанол, 1-метилцикlopентанол и 1-метилциклогексанол и т. д.). Однако в парах хлорцикlopентан — хлорциклогексан и цикlopентанон — циклогексанон наблюдается противоположная ситуация.

3. Энтропии плавления в рядах сходных веществ могут различаться в 6–15 раз, что обусловлено, в основном, разным характером их термического поведения при  $T < T_{\text{fus}}$ . Более того, для веществ, образующих пластические кристаллы, отношения энтропии перехода “жесткий кристалл → пластический кристалл” к энтропии плавления и температурный интервал существования пластических кристаллов изменяются в очень широких пределах.

4. Существенно большее постоянство характерно для сумм энтропий твердофазных переходов и плавления  $[\sum(\Delta_{\text{trs},i} S_m^{\circ}) + \Delta_{\text{fus}} S_m^{\circ}]$  в рядах сходных веществ. Можно утверждать, что в моно- и дизамещенных производных циклогексана и цикlopентана с числом волчиков не более двух сумма  $[\sum(\Delta_{\text{trs},i} S_m^{\circ}) + \Delta_{\text{fus}} S_m^{\circ}]$  составляет в среднем около  $50 \text{ Дж}\cdot\text{моль}^{-1}\cdot\text{К}^{-1}$ .

Возможные отклонения от постоянства суммы в рядах структуронодобных веществ могут быть обусловлены образованием ассоциированных жидкостей при температурах, близких к  $T_{\text{fus}}$ . Это наблюдается, например, для циклогексанола [15] и особенно для цикlopентанола, низкое значение суммы  $[\sum(\Delta_{\text{trs},i} S_m^{\circ}) + \Delta_{\text{fus}} S_m^{\circ}] = 21.9 \text{ Дж}\cdot\text{моль}^{-1}\cdot\text{К}^{-1}$  которого обсуждалось в [14].

## ИЗМЕНЕНИЯ СОСТОЯНИЙ МОЛЕКУЛ ПРИ ПЕРЕХОДАХ “ЖЕСТКИЙ КРИСТАЛЛ → ПЛАСТИЧЕСКИЙ КРИСТАЛЛ”

Большие значения  $\Delta_{trs} S_m^o$  и  $\Delta_{trs} C_s$  для переходов в состояние пластических кристаллов (см. табл. 2) обусловлены совокупностью нескольких причин.

Во-первых, при образовании пластического кристалла очень часто происходит изменение кристаллической структуры и плотности (мольного объема) вещества, что вносит соответствующий вклад в изменение энтропии  $\Delta_v S_m^o$  [26, 27, 28, 29].

Во-вторых, нами было показано [22, 23, 25], что переход в пластическое состояние сопровождается скачкообразным усложнением конформационного состава вещества. Так, в спектрах хлорпроизводных циклогексана и цикlopентана и их 1-метилзамещенных при  $T < T_{trs}$  остается только одна полоса C-Cl-валентных колебаний наиболее стабильного конформера (рис. 2). Естественно предположить, что при  $T > T_{trs}$  преодолевается не только барьер инверсии циклов, но и внутреннего вращения  $\text{CH}_3$ - и других подобных волчков. Соответствующие вклады в энтропию и теплоемкость обозначим

$$\Delta_{inv.} S_m^o, \Delta_{inv.} C_s, \Delta_{inv.ap.} S_m^o, \Delta_{inv.ap.} C_s.$$

В-третьих, существуют многочисленные экспериментальные доказательства того, что в пластических кристаллах возможно общее вращение молекул или, по крайней мере, изменение их ориентаций. Соответствующие изменения термодинамических свойств обозначены  $\Delta_{orient.} S_m^o$  и  $\Delta_{orient.} C_s$  (“ориентационные” вклады).

В каждом конкретном случае соотношения названных вкладов будут различными. Если пренебречь другими возможными изменениями при переходах “жесткий кристалл → пластический кристалл” — частот колебаний в

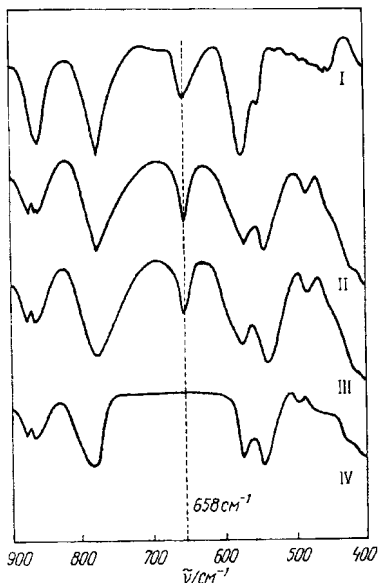


Рис. 2. ИК-спектры 1-метил-1-хлорциклогексана в различных агрегатных состояниях: I — газ при  $T = 293$  К; II — жидкость при  $T = 293$  К; III — пластичный кристалл при  $T = 223$  К; IV — жесткий кристалл при  $T = 205$  К. Полоса  $658 \text{ см}^{-1}$  относится к C-Cl валентному колебанию конформера “кресло” с экваториальным расположением хлора

решетках и молекулах, концентрацией позиционных дефектов и т. п., то термодинамические величины, соответствующие этим переходам, можно представить в виде сумм:

$$\Delta_{\text{trs}} S_m^o = \Delta_v S_m^o + \Delta_{\text{инв.}} S_m^o + \Delta_{\text{ви.вр.}} S_m^o + \Delta_{\text{ориент.}} S_m^o, \quad (1)$$

$$\Delta_{\text{trs}} C_s = \Delta_{\text{инв.}} C_s + \Delta_{\text{ви.вр.}} C_s + \Delta_{\text{ориент.}} C_s. \quad (2)$$

Методы расчета каждой из составляющих  $\Delta_{\text{trs}} S_m^o$  и  $\Delta_{\text{trs}} C_s$  в соотношениях (1) и (2) изложены ниже.

### ВКЛАДЫ ОБЪЕМНЫХ ИЗМЕНЕНИЙ В $\Delta_{\text{trs}} S_m^o$ И $\Delta_{\text{trs}} C_s$ ПРИ ПЕРЕХОДАХ “ЖЕСТКИЙ КРИСТАЛЛ → ПЛАСТИЧЕСКИЙ КРИСТАЛЛ”

Согласно [26, 27], твердофазный переход вещества можно представить в виде суммы двух последовательных процессов: переход вещества из низкотемпературной в высокотемпературную фазу при постоянном объеме и температуре и изотермическое расширение высокотемпературной фазы до ее равновесного объема при данных давлении и температуре. Объемные вклады в энтропию и теплоемкость твердофазного перехода обусловлены вторым процессом.

Вклад объемных изменений в энтропию перехода “жесткий кристалл → пластический кристалл” рассчитывается по формуле

$$\Delta_v S_m^o = \int_{V_1}^{V_2} \left( \frac{\partial P}{\partial T} \right)_V dV = \int_{V_1}^{V_2} \beta_v(V) dV,$$

где  $V_1$  и  $V_2$  — мольные объемы жесткого и пластического кристалла при температуре  $T_{\text{trs}}$ . Это выражение можно упростить [26, 27], приняв, что среднее значение коэффициента  $\beta_v(V) = (\partial P / \partial T)_V$  в области от  $V_1$  до  $V_2$  остается постоянным при различных давлениях. Тогда

$$\Delta_v S_m^o = \beta_v \cdot \Delta_{\text{trs}} V, \text{ где } \Delta_{\text{trs}} V = V_2 - V_1.$$

Таким образом, расчеты вкладов в энтропию твердофазного перехода объемных изменений возможны из ( $p$ - $V$ - $T$ )-зависимостей веществ в области их фазовых переходов, исследованных для некоторых производных циклогексана Вюрфлингером [28, 29, 30]. Результаты расчетов  $\Delta_v S_m^o$

представлены в таблицах 3 и 4, при этом для веществ, ( $p$ - $V$ - $T$ )-зависимости которых не были экспериментально изучены, принято, что  $\Delta_v S_m^0 / \Delta_{trs} S_m^0 \approx 0.42$ .

Вклад объемных изменений в теплоемкость твердофазного перехода можно оценить на основании соотношения:

$$\left( \frac{\partial (C_p / T)}{\partial P} \right)_T = - \left( \frac{\partial^2 V}{\partial T^2} \right)_P . \quad [31]$$

Таблица 3

Результаты расчетов вкладов объемных изменений в энтропии переходов “жесткий кристалл  $\rightarrow$  пластический кристалл” некоторых производных циклогексана

Соединение	$T_{trs}$ К	$10^6 \cdot \Delta_{trs} V$ $\text{м}^3 \cdot \text{моль}^{-1}$	$(\partial p / \partial T)_V$ $\text{МПа} \cdot \text{К}^{-1}$	$\Delta_T S_m^0$ $\text{Дж} \cdot \text{моль}^{-1} \cdot \text{К}^{-1}$	$\Delta_{trs} S_m^0$ $\text{Дж} \cdot \text{моль}^{-1} \cdot \text{К}^{-1}$	$\Delta_T S_m^0$ $\Delta_{trs} S_m^0$
циклогексан	186.09	9.7	1.94	18.8	36.2	0.52
хлорциклогексан	220.4	6.53	1.81	11.8	36.3	0.32
циклогексанон	220.8	7.7	2.12	16.3	39.2	0.42
циклогексанол	265.50	7.95	1.76	14.0	33.2	0.42
Среднее значение:						0.42

Таблица 4

Вклады инверсии циклов, внутреннего вращения волчков и объемных изменений кристаллов в изменения энтропии и теплоемкости перехода “жесткий кристалл  $\rightarrow$  пластический кристалл” некоторых производных циклогексана

Соединение	$T_{trs}$ К	$\Delta_{trs} S_m^0$	$\Delta_{inv} S_m^0$	$\Delta_{inver} S_m^0$	$\Delta_v S_m^0$	$S_{inver}$	$\Delta_{trs} C_s$	$\Delta_{inv} C_s$	$\Delta_{inver} C_s$
		Дж·моль <sup>-1</sup> ·К <sup>-1</sup>							
циклогексан	186.09	36.2	4.3	—	18.8	89.6	13.9	6.3	—
1,1-диметилциклогексан	153.74	39.1	7.5	6.6	16.4	109.6	32.2	7.4	11.8
цис-1,2-диметициклогексан	172.50	47.9	7.5	8.4	20.1	111.1	37.7	7.4	13.2
циклогексанол	265.50	33.2	12.7	5.8	14.0	113.2	22.7	10.5	7.3
циклогексанон	220.83	39.2	13.0	—	16.3	110.3	25.1	14.8	—
хлорциклогексан	220.40	36.3	13.9	—	11.8	114.5	17.6	9.1	—
1-метил-1-хлорциклогексан	214.37	43.8	14.6	4.8	18.4	116.2	34.7	9.8	6.9
1,1-дихлорциклогексан	225.00	40.7	7.6	—	17.1	119.4	37.9	7.5	—

Примечание. В столбце  $\Delta_v S_m^0$  подчеркнутые значения для четырех веществ (1,1-диметициклогексан, цис-1,2-диметициклогексан, 1-метил-1-хлорциклогексан, 1,1-дихлорциклогексан) рассчитаны из предположения, что  $\Delta_v S_m^0 / \Delta_{trs} S_m^0 \approx 0.42$  (см. табл. 3)

Поскольку (V-T)-изобары органических кристаллов обычно линейны или почти линейны в пределах погрешности экспериментальных измерений [27, 30, 31], то теплоемкости веществ при твердофазных переходах практически не зависят от давления и, следовательно, вклад объемных изменений в теплоемкость перехода “жесткий кристалл → пластический кристалл” может быть принят равным нулю.

## ВКЛАДЫ ИНВЕРСИИ ЦИКЛОВ И ВНУТРЕННЕГО ВРАЩЕНИЯ ВОЛЧКОВ В $\Delta_{\text{trs}} S_m^o$ И $\Delta_{\text{trs}} C_s$ ПРИ ПЕРЕХОДАХ “ЖЕСТКИЙ КРИСТАЛЛ → ПЛАСТИЧЕСКИЙ КРИСТАЛЛ”

Эти вклады рассчитаны нами с использованием методов, описанных в [32, 33]. Параметры потенциальных кривых инверсии циклов и потенциальные барьеры вращения волчков получены методами молекулярной механики в приближении невзаимодействующих молекул [22, 23, 25].

Из приведенных в табл. 4 значений следует, что для пластических кристаллов суммы  $[\Delta_v S_m^o + \Delta_{\text{инв.}} S_m^o + \Delta_{\text{ви.бр.}} S_m^o]$  и  $[\Delta_{\text{инв.}} C_s + \Delta_{\text{ви.бр.}} C_s]$  меньше значений  $\Delta_{\text{trs}} S_m^o$  и  $\Delta_{\text{trs}} C_s$ . Поэтому следует признать, что вклад в термодинамические свойства пластических кристаллов общего вращения или различных ориентаций молекул может быть достаточно большим.

## ОРИЕНТАЦИОННЫЕ ВКЛАДЫ В $\Delta_{\text{trs}} S_m^o$ И $\Delta_{\text{trs}} C_s$ ПРИ ПЕРЕХОДАХ “ЖЕСТКИЙ КРИСТАЛЛ → ПЛАСТИЧЕСКИЙ КРИСТАЛЛ”

Нетрудно показать, что вращение молекул в пластических кристаллах существенно заторможено. В табл. 4 приведены значения энтропии общего вращения невзаимодействующих молекул при температурах  $T_{\text{tr}}$ , вычисленные по известному соотношению [32]:

$$S_{\text{общ.вращ.}}(T) = R \left[ \ln \frac{8\pi^2}{\sigma} \frac{(2\pi k T)^{3/2}}{h^3} (I_A I_B I_C)^{1/2} + \frac{3}{2} \right] \quad (3)$$

Для всех веществ  $S_{\text{общ.вр.}}(T_{\text{tr}})$  намного больше  $\Delta_{\text{trs}} S_m^o$ . Это однозначно свидетельствует о том, что общее вращение молекул в пластических кристаллах существенно заторможено. В некоторых случаях, как было показано Вюрфлингером [34] при моделировании пластического кристалла циклогексана методами молекулярной динамики, вращение возможно лишь относительно одной из осей.

Для интерпретации изменений энтропии при твердофазных переходах часто используется простая модель Гатри, МакКаллофа [35], согласно которой  $\Delta_{trs} S_m^o$  определяется мольными долями  $n_i$  неэквивалентных ориентаций молекул в пластическом кристалле:  $\Delta_{trs} S_m^o \approx -R n_i \ln n_i$ . В приложениях этой модели к интерпретации  $\Delta_{trs} S_m^o$  тетраэдрических молекул, бицикло(2,2,1)гептана [35] и в других случаях используется допущение, обычно недекларируемое, об энергетической эквивалентности всех различных ориентаций молекул в пластическом кристалле.

Однако эта упрощенная модель не дает возможности объяснить большое значение скачка теплоемкости  $\Delta_{trs} C_s$  в 14–38 Дж·моль<sup>-1</sup>·К<sup>-1</sup> (табл. 2) при переходах “жесткий кристалл → пластический кристалл”. Такое возрастание теплоемкости возможно, если в пластических кристаллах существуют различимые ориентационные состояния с различной энергией, так как из соотношения [36]:

$$\Delta_{ориент} C_s = -\frac{1}{RT^2} \sum_{i=1}^n x_i \sum_{j>i}^n x_j (\Delta E_{ij})^2 \quad (4)$$

следует, что  $\Delta_{ориент} C_s \neq 0$  только при  $\Delta E_{ij} \neq 0$ .

Представляется плодотворным следующая модификация модели Гатри, МакКаллофа [35] ориентационной неупорядоченности пластических кристаллов:

1. В пластических кристаллах происходит заторможенное вращение молекул от одной предпочтительной ориентации к другой с локальными минимумами энергии.

2. Различия частот решеточных колебаний — либраций центров тяжестей молекул — в жестких и пластических кристаллах несущественны для изменения их вклада в термодинамические свойства. Частоты нормальных колебаний молекул также практически одинаковы в жестких и пластических кристаллах.

3. Энергетически наиболее устойчивой является основная ориентация молекул, соответствующая ориентации в жестком кристалле. Другие ориентации молекул — “пластические ориентации” энергетически менее устойчивы, чем основная. Схема энергетических уровней ориентационной неупорядоченности молекул представлена на рис. 3. В соответствии с предложенной энергетической диаграммой можно считать, что амплитуда крутильных колебаний молекул при переходе “жесткий кристалл → пластический кристалл” значительно изменяется. Вследствие этого изменения в пластическом кристалле становится возможным поворот молекул в кристаллической решетке на достаточно большой угол  $\phi$  (в



Рис. 3. Модель энергетических состояний с различной ориентацией группы молекул в состоянии пластического кристалла:  $\Delta_{\text{ориент.}} E = E_{\text{пласт.}} - E_{\text{осн.}}$  — разность между энергией основной и средним значением энергии пластических ориентаций молекул.

предел до  $2\pi$ ) с промежуточным образованием ориентационно устойчивых положений с минимумами энергии порядка  $E_{\text{пласт.}}$ .

Детальная информация о значениях  $(E_{\text{пласт.}})_i$  и мольных долях различных ориентаций  $n_i$ , отвечающих минимумам энергии заторможенного общего вращения молекул в пластических кристаллах для производных циклогексана, отсутствует. Чтобы сделать численные оценки по предложению модели пластического состояния (рис. 3), мы используем следующие допущения:

1. Принимается, что  $(E_{\text{пласт.}})_i$  очень мало отличаются между собой и энергетический уровень всех “пластических ориентаций” молекул характеризуется одним средним значением  $(E_{\text{пласт.}})_{\text{среднее}}$ .
2. Энтропии кристаллов всех “пластических ориентаций” одинаковы.
3. Доли (концентрации) “пластических ориентаций” в кристаллах могут быть оценены из условия:

$$K_{\text{пласт.}} = \exp(-\Delta_{\text{ориент.}} G / RT),$$

$$\Delta_{\text{ориент.}} G \approx \Delta_{\text{ориент.}} E = E_{\text{пласт.}} - E_{\text{осн.}}$$

4. Изменения термодинамических свойств вследствие ориентационной неупорядоченности при переходе “жесткий кристалл  $\rightarrow$  пластический кристалл” могут быть вычислены из соотношений, аналогичных полученным для расчета вкладов конформационных превращений [36]:

$$\Delta_{\text{ориент.}} S_m^o = -R \sum_{i=1}^n n_i \ln n_i, \quad (5)$$

$$\Delta_{\text{ориент.}} C_s = -\frac{1}{RT^2} \sum_{i=1}^n n_i \sum_{j>i}^n n_j (\Delta_{\text{ориент.}} E)^2, \quad (6)$$

$$\Delta_{\text{ориент.}} H_m^o = \sum_{i=2}^n n_i (\Delta_{\text{ориент.}} E), \quad (7)$$

где  $n_i, n_j$  — доли молекул в  $i, j$  — “пластических ориентациях” (для каждого пластического кристалла в соответствии с принятыми допущениями  $n_i = \text{const}$  для всех  $i = (2, 3, \dots, n)$ );  $\Delta_{\text{ориент.}} E = E_{\text{пласт.}} - E_{\text{осн.}}$  — разница в энергиях основной и пластической ориентации;  $T$  — температура;  $\Delta_{\text{ориент.}} S_m^o$ ,  $\Delta_{\text{ориент.}} C_s, \Delta_{\text{ориент.}} H_m^o$  — изменения энтропии, теплоемкости и энталпии вследствие изменения ориентаций молекул в пластическом кристалле.

Значения  $\Delta_{\text{ориент.}} S_m^o$  и  $\Delta_{\text{ориент.}} C_s$  рассчитываются из экспериментальных значений  $\Delta_{\text{trs.}} S_m^o$  и  $\Delta_{\text{trs.}} C_s$  для производных циклогексана из соотношений (1) и (2). Так, например, для циклогексана  $\Delta_{\text{ориент.}} S_m^o(186 \text{ K}) = \Delta_{\text{trs.}} S_m^o - \Delta_{\text{инв.}} S_m^o - \Delta_v S_m^o \approx 36.2 - 4.3 - 18.8 = 13.1 \text{ Дж}\cdot\text{моль}^{-1}\cdot\text{К}^{-1}$ ,  $\Delta_{\text{ориент.}} C_s(186 \text{ K}) = \Delta_{\text{trs.}} C_s - \Delta_{\text{инв.}} C_s - \Delta_v C_s \approx 13.9 - 6.3 - 0 = 7.6 \text{ Дж}\cdot\text{моль}^{-1}\cdot\text{К}^{-1}$ .

Значения  $\Delta_{\text{ориент.}} S_m^o$  и  $\Delta_{\text{ориент.}} C_s$  позволяют сделать оценки  $\Delta_{\text{ориент.}} E$  и чисел неэквивалентных ориентаций  $n_{\text{ориент.}}$ . На рис. 4, 5 и 6 представлены зависимости  $\Delta_{\text{ориент.}} S_m^o$  и  $\Delta_{\text{ориент.}} C_s$  от значений  $n_{\text{ориент.}}$  и  $\Delta_{\text{ориент.}} E$ , полученные с использованием соотношений (5) и (6). Для циклогексана при температуре его фазового перехода “жесткий кристалл  $\rightarrow$  пластический кристалл”  $T_{\text{trs.}} = 186.09 \text{ K}$ , проведя на этих графиках линии, соответствующие  $\Delta_{\text{ориент.}} S_m^o = 13.1 \text{ Дж}\cdot\text{моль}^{-1}\cdot\text{К}^{-1}$  и  $\Delta_{\text{ориент.}} C_s = 7.6 \text{ Дж}\cdot\text{моль}^{-1}\cdot\text{К}^{-1}$  (табл. 5), получаем области условий  $n_{\text{ориент.}}$  и  $\Delta_{\text{ориент.}} E$ , отвечающие этим величинам. Область совместных решений, справедливых одновременно для  $\Delta_{\text{ориент.}} S_m^o$  и  $\Delta_{\text{ориент.}} C_s$ , и обозначенная на рис. 4, 5 и 6 заштрихованы прямыми угольниками, значительно уже и соответствует  $\Delta_{\text{ориент.}} E \approx \approx 2.9 \text{ кДж}\cdot\text{моль}^{-1}$  и  $n_{\text{ориент.}} = 7$ . Аналогичным образом были получены значения  $\Delta_{\text{ориент.}} E$  и  $n_{\text{ориент.}}$  для других соединений (табл. 5). По данным табл. 5 видно, что значения  $\Delta_{\text{ориент.}} E$  меньше значений  $\Delta_{\text{trs.}} H_m^o$  фазового перехода “жесткий кристалл  $\rightarrow$  пластический кристалл”. Различия между значениями  $\Delta_{\text{trs.}} H_m^o$  и  $\Delta_{\text{ориент.}} E$  могут быть обусловлены изменением энергетических состояний кристалла, не связанных с изменением ориентаций молекул в кристаллической решетке.

Естественно, возникает вопрос о физической интерпретации больших значений чисел неэквивалентных ориентаций в пластическом кристалле  $n_{\text{ориент.}}$  (от 6 до 32, см. табл. 5), соответствующих локальным минимумам энергии. Большие значения  $n_{\text{ориент.}}$ , вероятно, обусловлены раз-

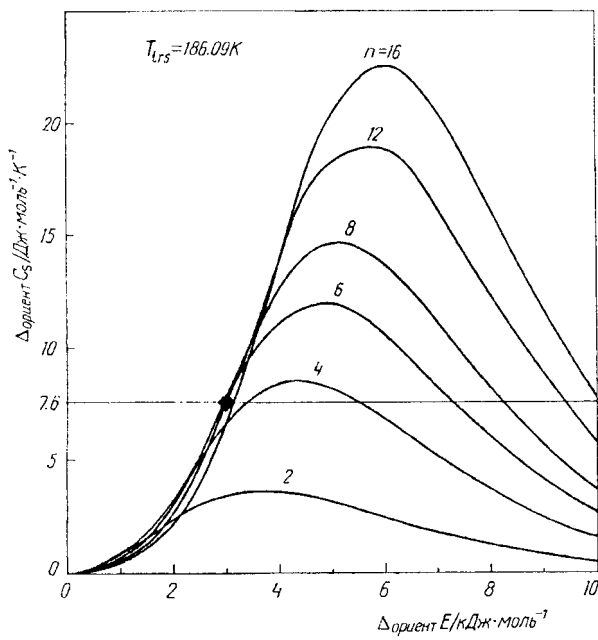


Рис. 4. Зависимость ориентационной теплоемкости от разности между энергией основной и средним значением энергии пластических ориентаций  $\Delta_{\text{ориент.}} E$  и числа незквивалентных состояний  $n_{\text{ориент.}}$  для циклогексана при  $T_{\text{ex}} = 186.09 \text{ K}$ . ◆ — область совместного согласования экспериментальных и рассчитанных значений  $\Delta_{\text{ориент.}} S_m^0$  и  $\Delta_{\text{ориент.}} C_s$ .

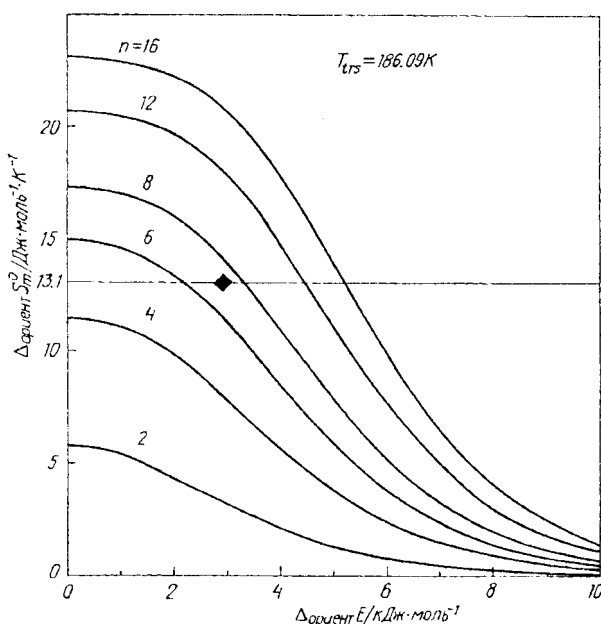


Рис. 5. Зависимость ориентационной энтропии от разности между энергией основной и средним значением энергии пластических ориентаций  $\Delta_{\text{ориент.}} E$  и числа незквивалентных состояний  $n_{\text{ориент.}}$  для циклогексана при  $T_{\text{ex}} = 186.09 \text{ K}$ . ◆ — область совместного согласования экспериментальных и рассчитанных значений  $\Delta_{\text{ориент.}} S_m^0$  и  $\Delta_{\text{ориент.}} C_s$ .

Таблица 5

“Ориентационные” вклады в энтропию и скачок теплоемкости перехода “жесткий кристалл → пластический кристалл” и параметры модели энергетических состояний молекул в пластических кристаллах некоторых производных циклогексана

Соединение	$T_{ts}$ К	$\Delta_{\text{ориент}} S_m^o$	$\Delta_{\text{ориент}} C_s$	$n_{\text{ориент.}}$	$\Delta_{\text{ориент}} E$	$\Delta_{\text{расп.}} H_m^o$
		Дж·моль <sup>-1</sup> ·К <sup>-1</sup>	Дж·моль <sup>-1</sup>		кДж·моль <sup>-1</sup>	
циклогексан	186.09	13.1	7.6	7	2.9	6.74
1,1-диметилциклогексан	153.74	8.6	13.0	7	3.7	5.99
транс-1,2-диметилциклогексан	172.50	11.9	17.1	12	4.4	8.26
циклогексанон	220.83	9.9	10.3	6	4.3	8.66
хлорциклогексан	220.40	10.6	8.5	6	3.8	8.01
1-метил-1-хлорциклогексан	214.37	6.0	18.0	12	7.5	9.15
1,1-дихлорциклогексан	225.00	16.0	30.4	32	7.4	9.38

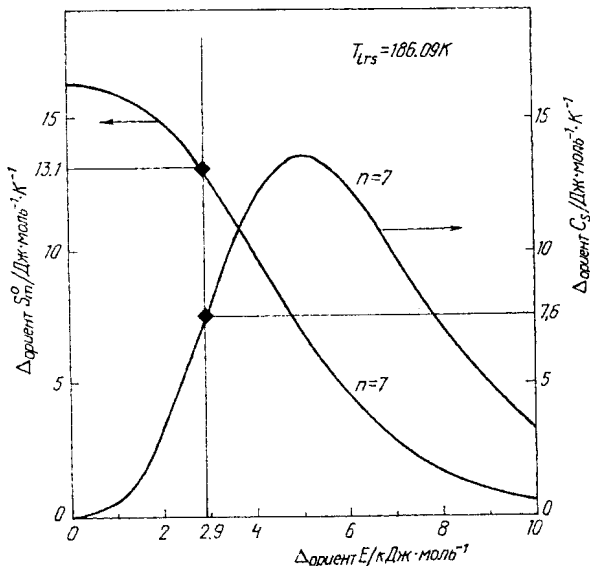


Рис. 6. Зависимость ориентационных энтропии и теплоемкости циклогексана от разности между энергией основной и средним значением энергии пластических ориентаций  $\Delta_{\text{ориент}} E$  при числе неэквивалентных ориентаций  $n_{\text{ориент.}} = 7$  при  $T_{ts} = 186.09 \text{ К}$ . ◆ — область согласования экспериментальных и рассчитанных значений  $\Delta_{\text{ориент.}} S_m^o$  и  $\Delta_{\text{ориент.}} C_s$

личной координацией поворотов молекул в узлах кристаллической решетки. Если для каждой молекулы существует  $m$  положений, соответствующих потенциальным минимумам энергии при повороте молекулы, а  $k$  — координационное число для каждой молекулы в кристалле, то общее число различных ориентаций всего комплекса  $k$ -координирован-

ных молекул составит  $n = m^{(k+1)}$ . При такой интерпретации большие значения чисел  $n_{\text{ориент.}}$  оправданы.

В модели пластических кристаллов Попла и Карава [37], в которой учтены две подрешетки пластического кристалла — “правильная” и “неправильная” — вводится представление, соответственно, о двух типах координационных чисел. Число возможных конфигураций молекул для их модели также может быть достаточно большим.

В ряду представленных в табл. 2 веществ циклогексанол и циклонентанол имеют аномально низкие значения  $[\Sigma(\Delta_{\text{trs},i} S_m^0) + \Delta_{\text{fus}} S_m^0]$  и  $\Delta_{\text{trs}} C_s$ . Вероятно, после образования пластических кристаллов в циклонентаноле при  $T > 202.6$  К и циклогексаноле при  $T > 265.5$  К молекулы преимущественно ориентированы за счет образования водородных связей. При плавлении этих веществ упорядоченность отчасти сохраняется и поэтому аномально низки величины  $[\Sigma(\Delta_{\text{trs},i} S_m^0) + \Delta_{\text{fus}} S_m^0]$  и  $\Delta_{\text{trs}} C_s$ .

### Заключение

Предложенная в настоящей работе модель энергетических состояний молекул дает возможность определять важнейшие параметры пластических кристаллов — среднюю разность в энергиях основной и “пластических” ориентаций молекул и число неэквивалентных ориентаций. Это в перспективе будет способствовать решению многих фундаментальных проблем, связанных с исследованиями пластических кристаллов:

1. Созданию методов прогнозирования возможности образования веществами пластических кристаллов и температурной области их существования.
2. Разработке методов оценки возможных различий в физических свойствах веществ при переходах “жесткий кристалл  $\rightarrow$  пластический кристалл”.

Существенно важной проблемой является и поиск технических применений пластических кристаллов.

### Литература

1. Парсонидж Н., Стейвли Л. Беспорядок в кристаллах. М., 1982. Ч. 1, 2. 290 с.
2. Астон Дж. Пластические кристаллы. // Сб. Физика и химия твердого состояния органических соединений. М., 1967. С. 488-532.
3. Timmermans J. // J. Phys. Chem. Solids. 1961. Vol. 18. P. 1.

4. Липиневский В. А. и др. // Докл. АН СССР. 1959. Т. 128. С. 767; 1967. Т. 172. С. 863.
5. Сергеев Т. Б., Батюк В. А. Криохимия. М., 1978. 295 с.
6. Лебедев Б. В., Литятов В. Я. Установка для измерения теплопроводности веществ в области 5–330 К. // Термодинамика орг. соединений. Горький, 1976. Вып. 5. С. 89.
7. TRC Thermodynamic Tables - Hydrocarbons, The Texas A&M University System, College Station, USA, 1994. m-Tables.
8. Douslin D. R., Huffman H. M. // J. Amer. Chem. Soc. 1946. Vol. 68. P. 173.
9. Gross M. E., Oliver G. D., Huffman H. M. // J. Amer. Chem. Soc. 1953. Vol. 75. P. 2801.
10. Huffman H. M., Todd S. S., Oliver G. D. // J. Amer. Chem. Soc. 1949. Vol. 71. P. 584.
11. Huffman H. M. // Personal Commun., U. S. Bur. Mines, Bartlesville, OK. 1948. Sept. 3. P. 176.
12. Huffman H. M., Parks G. S. Barmore M. // J. Amer. Chem. Soc. 1931. Vol. 53. P. 3876.
13. Huffman, H. M. // Personal Commun., U. S. Bur. Mines, Bartlesville, OK. 1948. Jan. 10. P. 25.
14. Kabo G. J., Diky V. V., Kozyro A. A., Krasulin A. P., Sevruk V. M. // J. Chem. Thermodyn. 1995. Vol. 27. P. 953.
15. Adachi K., Suga H., Seki S. // Bull. Chem. Soc. Jap. 1968. Vol. 41. P. 1073.
16. Berg W. T., Scott D. W., Hubbard W. N. Todd S. S., Messerly J. F., Hossenlopp I. A., Osborn A. G., Douslin D. R., McCullough J. P. // J. Phys. Chem. 1961. Vol. 65. P. 1425.
17. Messerly J. F., Todd S. S., Guthrie G. B. // J. Chem. and Eng. Data. 1967. Vol. 12. P. 426.
18. Nakamura N., Suga H., Seki S. // Bull. Chem. Soc. Jap. 1980. Vol. 53. P. 2755.
19. Шваро О. В. Дис. ... канд. хим. наук. Мн., 1987. 204 с.
20. Finke H. L., Messerly J. F., Lee-Bechtold S. H. // J. Chem. Thermodyn. 1981. Vol. 13. P. 345.
21. Van de Vloed A. // Bull. Soc. chim. belg. 1939. Vol. 48. P. 229.
22. Diky V. V., Kabo G. J., Kozyro A. A., Krasulin A. P., Sevruk V. M. // J. Chem. Thermodyn. 1993. Vol. 25. P. 1169.
23. Diky V. V., Kabo G. J., Kozyro A. A., Krasulin A. P., Sevruk V. M. // J. Chem. Thermodyn. 1994. Vol. 26. P. 1001.
24. Kobashi K., Oguni M. // J. Chem. Thermodyn. 1995. Vol. 27. P. 979.
25. Kabo G. J., Blokhin A. V., Kozyro A. A., Diky V. V., Ivashkevich L. S., Krasulin A. P., Sevruk V. M., Frenrel M. // Thermochim. acta. 1998. Vol. 313. P. 111.
26. Fortune G. C., Malcolm G. N. // J. Phys. Chem. 1967. Vol. 71. P. 876.
27. Sandrock R., Schneider G. M. // Ber. Bunsenges. phys. Chem. 1983. Bd. 87. S. 197.
28. Wisotzki K. D., Wurflinger A. // J. Phys. Chem. Solids. 1982. Vol. 43. P. 13.
29. Reimbuauer M., Schulte L., Wurflinger A. // Z. phys. Chem. 1990. Bd. 166. S. 53.
30. Jenau M., Wurflinger A. // Z. phys. Chem. 1997. Bd. 199. S. 255.
31. Naoki M., Nose T. // J. Polym. Sci.: B. 1975. Vol. 13. P. 1747.
32. Frenkel M. L., Kabo G. J., Marsh K. N., Roganov G. N., Wilhoit R. C. Thermodynamics of organic compounds in the gas state. Vol. 1, 2. USA: TRC Data Series, 1994. 803 p.
33. Кабо Г. Я., Роганов Г. Н., Френкель М. Л. Термодинамика и равновесия изомеров. Мн., 1986. 224 с.
34. Wurflinger A. // Z. phys. Chem. 1994. Vol. 186. P. 183.
35. Guthrie G. B., McCullough J. P. // J. Phys. Chem. Solids. 1961. Vol. 18. P. 53.
36. Попенюк П. А., Кабо Г. Я., Френкель М. Л. // Ж. физ. химии. 1988. Т. 62. С. 1105.
37. Pople J. A., Karasz F. E. // J. Phys. Chem. Solids. 1961. Vol. 18. P. 28.